

Emisión termoiónica en el vacío: Polaridad y carga específica de los portadores

Objetivos del experimento

- Determinación de la polaridad de los portadores de carga emitidos por un cátodo calentado.
- Estimación de la carga específica de los portadores de carga emitidos.

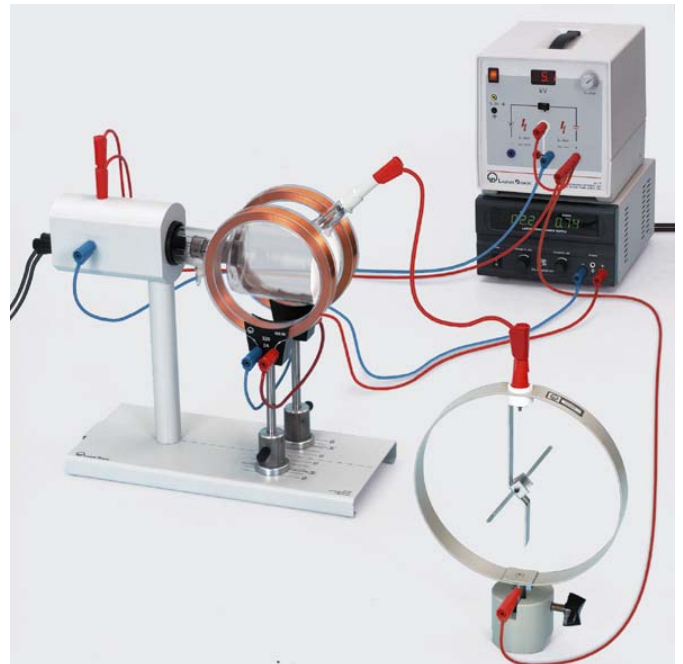
Fundamentos

Con un tubo de Perrin se pueden estudiar diferentes propiedades de los rayos catódicos. En los experimentos con los tubos diodo, triodo y el tubo con cruz de Malta se estudió cualitativamente la existencia de los rayos catódicos, su propagación en línea recta en el espacio libre y su desviación bajo campos eléctricos y magnéticos.

En el tubo de Perrin se pueden desviar rayos catódicos, mediante un campo eléctrico o magnético, en un vaso de Faraday que hace un ángulo de 45° respecto al rayo electrónico y se carga por acción de los rayos catódicos. Con un electroscopio se muestra la existencia de la carga. La polaridad de la carga también puede ser determinada comparándola con otra carga de signo conocido. Si la desviación es causada por un campo de intensidad conocida, entonces también se puede estimar la carga específica a partir de la tensión de aceleración U_A y de los datos geométricos del tubo.

En el tubo de Perrin los electrones que salen de un cátodo calentado son acelerados por una alta tensión aplicada entre cátodo y ánodo. Un haz de electrones fino, generado a través de un diafragma con agujero en el ánodo, incide en la parte delantera del tubo sobre una capa fluorescente y puede verse como una pequeña mancha luminosa verde. Mediante placas de deflexión, directamente detrás del ánodo, el rayo electrónico es desviado electrostáticamente en un plano horizontal. Un campo magnético desvía los electrones verticalmente hacia arriba hacia un vaso de Faraday, orientado en 45° respecto al eje del rayo, el cual se carga.

En el experimento se estudia con detalle las propiedades de los rayos catódicos. Primero se determina la polaridad de los portadores de carga mediante la comparación con una carga de polaridad conocida. Para ello, un par de bobinas de Helmholtz, montadas en paralelo al rayo catódico, generan un campo magnético que desvían el rayo hacia arriba. El rayo incide sobre el vaso de Faraday. La desviación es causada por la fuerza de Lorentz $\vec{F} = q \cdot \vec{v} \times \vec{B}$ sobre los portadores de carga y se aplica perpendicular tanto a la dirección de movimiento de los portadores de carga como a las líneas de campo magnético. Si el vaso de Faraday está conectado con un electroscopio previamente cargado con una carga de polaridad conocida, se puede deducir la polaridad de los portadores según cómo cambie la deflexión.



También es posible estimar la carga específica de los portadores de carga. El campo magnético desvía al rayo hacia una trayectoria circular. El radio de esta trayectoria está determinado por la velocidad de los electrones y la intensidad del campo magnético. Cuando el rayo incide sobre el vaso de Faraday, el radio de la trayectoria (en el experimento es $r = 16$ cm) queda prefijado por la geometría del tubo y las bobinas. La carga específica se estima entonces a partir de la tensión anódica aplicada U_A y del campo magnético B mediante la siguiente expresión:

$$\frac{e}{m} = \frac{2U_A}{(B \cdot r)^2}$$

La densidad de flujo magnética B puede ser calculada a partir de la corriente que fluye por el par de bobinas de Helmholtz mediante:

$$B = \mu_0 \cdot \left(\frac{4}{5}\right)^{\frac{3}{2}} \cdot \frac{N \cdot I}{R}$$

donde $N = 320$ es el número de espiras, $R = 6,7$ cm es el radio medio de las bobinas e I es la corriente aplicada.

The diagram illustrates the experimental setup for measuring the Hall effect. It consists of the following components and connections:

- Power Supply:** A power supply unit with a digital display and a switch, connected to the circuit.
- Current Source:** A current source unit with a switch and a meter, connected to the circuit.
- Hall Probe:** A Hall probe connected to the circuit, with terminals labeled F_1 and F_2 .
- Magnetic Field Source:** A magnetic field source unit with a switch and a meter, connected to the circuit.
- Voltmeter:** A voltmeter connected to the circuit, with terminals labeled A and X .
- Switch:** A switch connected to the circuit, with terminals labeled H and H .

Se aumenta lentamente el campo magnético incrementando la corriente de las bobinas, la manchita verde de la pantalla se desplaza hacia arriba. Cuando el haz electrónico incide sobre el vaso de Faraday la desviación en el electroscopio aumenta. Los portadores tienen entonces la misma polaridad, es decir, se cargan negativamente.

Impreso en la República Federal de Alemania
Modificaciones técnicas reservadas

El haz de electrones incide sobre el vaso de Faraday para una corriente de bobinas $I = 0,34$ A y una tensión del cátodo $U_A = 3,5$ kV. La carga específica viene dada por:

$$\frac{e}{m} = \frac{2 \cdot U_A}{(r \cdot B)^2} \text{ con } B = \mu_0 \cdot \left(\frac{4}{5}\right)^{\frac{3}{2}} \cdot \frac{N \cdot I}{R}.$$

A partir de los valores $U_A = 3,5$ kV, $r = 16$ cm, $\mu_0 = 1,26 \cdot 10^{-6} \frac{\text{Vs}}{\text{Am}}$, $N = 320$, $I = 0,34$ A y $R = 6,7$ cm resulta para la carga específica:

$$\frac{e}{m_e} = 1,28 \cdot 10^{11} \frac{\text{As}}{\text{kg}}$$

El valor así obtenido para la carga específica es menor que el valor encontrado en la bibliografía $\frac{e}{m_e} = 1,7588 \cdot 10^{11} \frac{\text{As}}{\text{kg}}$, una diferencia de aprox. 27 %.

Una causa del error proviene del supuesto que el campo magnético entre las bobinas de Helmholtz es homogéneo y puede ser calculado mediante $B = \mu_0 \cdot \left(\frac{4}{5}\right)^{\frac{3}{2}} \cdot \frac{N \cdot I}{R}$. Sin embargo, esta condición se cumple perfectamente sólo en una zona $\pm \frac{R}{2}$ alrededor del centro. A partir de aquí el campo magnético disminuye uniformemente hacia afuera y alcanza el valor cero justo fuera de las bobinas. El electrón se mueve primero en una zona con campos magnéticos pequeños y por tanto en una trayectoria con un radio mayor.

Sólo al alcanzar la distancia $\frac{R}{2}$ al centro, el campo magnético tiene el valor que la geometría de Helmholtz determina. Después de que el electrón pasa por la zona con campo magnético homogéneo en el centro, alcanza la zona con campo magnético decreciente. De aquí que el campo magnético sea sistemáticamente sobreestimado en el cálculo de la carga específica; el error encontrado es de un 10 %.

Una diferencia adicional respecto al valor de la bibliografía, ocurre en la medición de la geometría de Helmholtz. Si por ejemplo en lugar de la distancia óptima $a = 6,7$ cm se ajusta $a^* = 7,3$ cm, esto conduce igualmente a un campo menor en la zona del haz electrónico; el error aquí es de 6 %.

La determinación exacta de la carga específica sin términos de corrección puede conseguirse con el tubo de rayo electrónico filiforme (555 571). En este caso las bobinas de Helmholtz están dimensionadas, de tal forma que en la zona del recorrido del rayo predomina un campo homogéneo, el cual puede ser calculado correctamente con:

$$B = \mu_0 \cdot \left(\frac{4}{5}\right)^{\frac{3}{2}} \cdot \frac{N \cdot I}{R}$$

Además la distancia entre las bobinas viene prefijada y por ello no hay posibilidad para una desviación involuntaria de la geometría de Helmholtz.

